

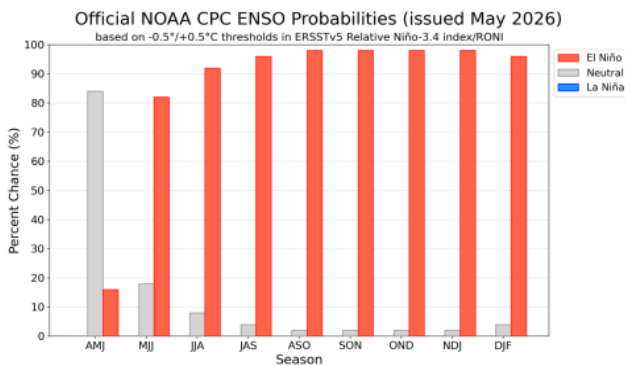


กระทรวงดิจิทัลเพื่อเศรษฐกิจและสังคม
กรมอุตุนิยมวิทยา

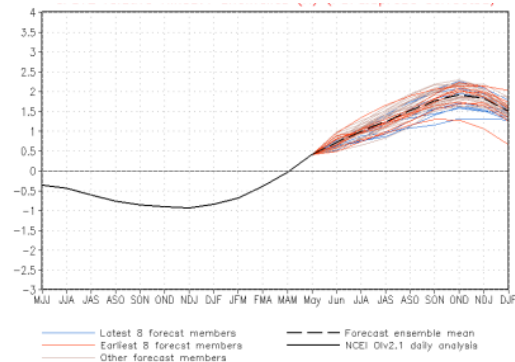
การติดตามและการคาดการณ์ปรากฏการณ์
ที่ส่งผลกระทบต่อลักษณะอากาศ
เดือนมิถุนายน ถึง สิงหาคม พ.ศ.2569
ออกประกาศ 22 พฤษภาคม พ.ศ.2569

1. ปรากฏการณ์ El Nino Southern Oscillation (ENSO)

ขณะนี้ปรากฏการณ์เอนโซอยู่ในสภาวะปกติ (Nino 3.4 = 0.5) จากแบบจำลองการพยากรณ์ ENSO index ของศูนย์ต่างๆ ทั่วโลก การพยากรณ์ความน่าจะเป็นของสถานการณ์ ENSO และการพยากรณ์อุณหภูมิผิวน้ำทะเล บริเวณมหาสมุทรแปซิฟิกเขตศูนย์สูตรส่วนใหญ่ที่มีค่าใกล้เคียงถึงสูงกว่าค่าปกติ ประกอบกับเมื่อวิเคราะห์ข้อมูลด้วยวิธีการทางสถิติและแบบจำลองแล้ว คาดว่าปรากฏการณ์เอนโซที่อยู่ในสภาวะปกติมีแนวโน้มจะเปลี่ยนเข้าสู่สภาวะเอลนีโญในช่วงเดือนพฤษภาคม - กรกฎาคม ด้วยความน่าจะเป็นร้อยละ 82 และจะคงสภาวะนี้ต่อเนื่องไปจนถึงปลายปี 2569



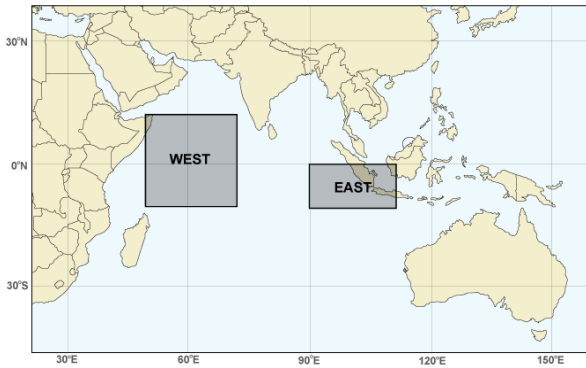
รูปที่ 1 ผลการพยากรณ์ความน่าจะเป็นของปรากฏการณ์ ENSO จากแบบจำลองของศูนย์ IRI/CPC



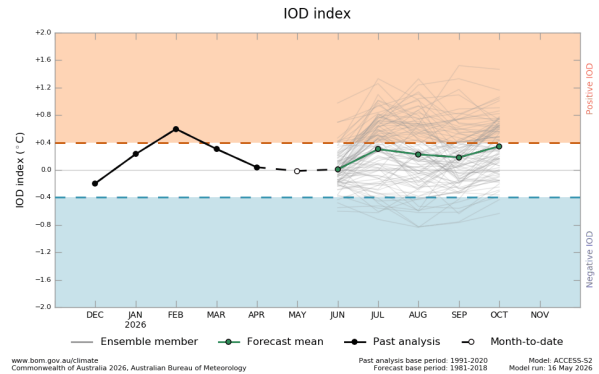
รูปที่ 2 แบบจำลองเฉลี่ยผลการพยากรณ์ค่าผิดปกติของอุณหภูมิผิวน้ำทะเล บริเวณ Nino 3.4 จากศูนย์ภูมิอากาศทั่วโลกรวบรวมโดยศูนย์ IRI/CPC

2. ปรากฏการณ์ Indian Ocean Dipole (IOD)

ปรากฏการณ์ IOD หรือดัชนีวัดค่าความผิดปกติของอุณหภูมิผิวน้ำทะเล อันเนื่องมาจากการอุ่นขึ้นหรือเย็นตัวอย่างผิดปกติของอุณหภูมิผิวน้ำทะเลบริเวณตอนใต้ด้านตะวันออกของมหาสมุทรอินเดียบริเวณเขตศูนย์สูตร (EAST) กับอุณหภูมิผิวน้ำทะเลบริเวณด้านตะวันตกของมหาสมุทรอินเดียเขตศูนย์สูตร (WEST) ดังรูปที่ 3 เรียกว่าปรากฏการณ์ Indian Ocean Dipole จากแบบจำลองการพยากรณ์ IOD index การพยากรณ์ความน่าจะเป็นของสถานการณ์ IOD และการพยากรณ์อุณหภูมิผิวน้ำทะเลบริเวณมหาสมุทรอินเดีย ดังรูปที่ 4 พบว่า ช่วงเดือนที่ผ่านมาปรากฏการณ์ IOD มีสถานะปกติ (Neutral) โดยปัจจุบันมีค่าดัชนีอยู่ที่ -0.16 °C จากแบบจำลองคาดการณ์ว่า IOD จะมีสถานะปกติ (Neutral) ในช่วงเดือนมิถุนายนถึงสิงหาคม ซึ่งจะยังไม่ส่งผลกระทบต่อปริมาณฝนรวมบริเวณประเทศไทยในช่วงดังกล่าว



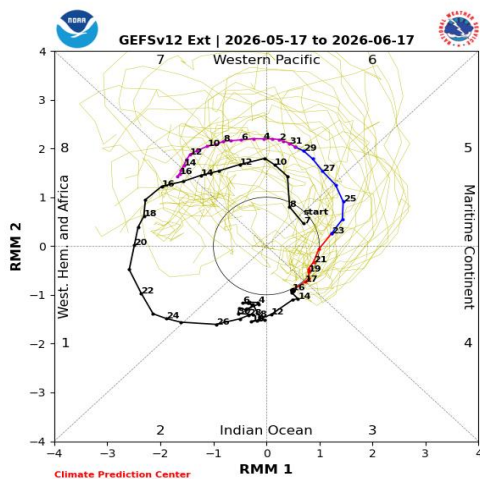
รูปที่ 3 แผนที่บริเวณ Indian Ocean Dipole จากกรมอุตุนิยมวิทยาประเทศออสเตรเลีย



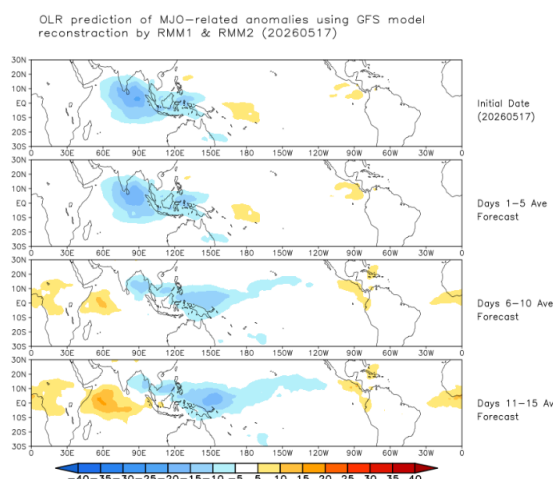
รูปที่ 4 ผลการพยากรณ์ IOD index จากแบบจำลองกรมอุตุนิยมวิทยาประเทศออสเตรเลีย

3. ปรากฏการณ์ Madden Julian Oscillation (MJO)

MJO เป็นปรากฏการณ์เกิดควบคู่กันระหว่างการไหลเวียนของบรรยากาศกับการยกตัวขนาดใหญ่ของอากาศในเขตร้อนมีช่วงการเกิดอยู่ในระหว่าง 30-60 วัน โดยจะมีการเคลื่อนตัวทางตะวันออก ซึ่งจะมีอิทธิพลหรือส่งผลกระทบต่อการบินที่ผิดปกติในขณะที่ปรากฏการณ์ MJO เคลื่อนผ่าน โดยในช่วงเดือนพฤษภาคม 2569 ปรากฏการณ์ MJO มีกำลังอ่อน โดยเคลื่อนตัวอยู่บริเวณมหาสมุทรอินเดีย ก่อนเคลื่อนเข้าสู่บริเวณ Western Pacific ในช่วงกลางเดือนพฤษภาคม 2569 ส่วนผลการพยากรณ์ดัชนี MJO จากแบบจำลอง พบว่าในตั้งแต่ปลายเดือนเดือนพฤษภาคม 2569 ปรากฏการณ์ MJO เคลื่อนตัวไปทางตะวันออกเข้าสู่บริเวณบริเวณ Western Hemisphere และมีแนวโน้มมีกำลังแรงขึ้นในขณะที่เคลื่อนเข้าสู่บริเวณ Western Pacific ในระยะครึ่งแรกของเดือนมิถุนายน 2569 ดังรูปที่ 5 ซึ่งภาพรวมของการพยากรณ์ค่า OLR ดังรูปที่ 6 คาดการณ์ว่าในช่วงเวลาดังกล่าว ปรากฏการณ์ MJO จะส่งผลกระทบต่อให้บริเวณภาคใต้ของประเทศไทยมีฝนลดลงจากช่วงที่ผ่านมาได้ หลังจากนั้นยังคงต้องเฝ้าติดตามปรากฏการณ์ MJO อย่างใกล้ชิดต่อไป



รูปที่ 5 กราฟแสดงการพยากรณ์ MJO Index และ MJO Phase จากศูนย์ภูมิอากาศทั่วโลก โดยแบบจำลองของศูนย์ IRI/CPC

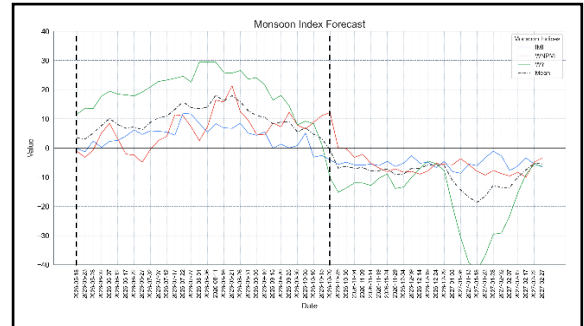


รูปที่ 6 แสดงการพยากรณ์ค่าการปลดปล่อยความร้อนจากพื้นโลก (OLR)เฉลี่ย 3 ช่วง ช่วงละ 5 วันโดยแบบจำลองของศูนย์ IRI/CPC

4. ลมมรสุม (Monsoon)

ลมมรสุม คือลมที่พัดตามฤดูกาล (ลมประจำฤดู) เป็นลมแน่ทิศและสม่ำเสมอ โดยประเทศไทยอยู่ภายใต้อิทธิพลของลมมรสุม 2 ชนิด คือ ลมมรสุมตะวันตกเฉียงใต้ (Southwest Monsoon) และลมมรสุมตะวันออกเฉียงเหนือ (Northeast Monsoon)

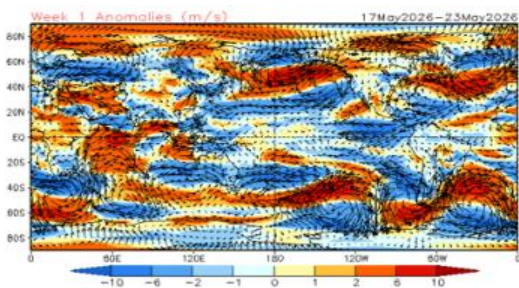
มรสุมตะวันตกเฉียงใต้ที่พัดปกคลุมประเทศไทย ระหว่างกลางเดือนพฤษภาคมถึงกลางเดือนตุลาคม มีแหล่งกำเนิดจากบริเวณความกดอากาศสูงในซีกโลกใต้ บริเวณมหาสมุทรอินเดีย มรสุมนี้จะนำมวลอากาศชื้นจากมหาสมุทรอินเดียมาสู่ประเทศไทย ทำให้มีเมฆมากและฝนชุกทั่วไป โดยเฉพาะอย่างยิ่งตามบริเวณชายฝั่งทะเล และเทือกเขาด้านรับลมจะมีฝนมากกว่าบริเวณอื่น หลังจากหมดอิทธิพลของมรสุมตะวันตกเฉียงใต้แล้ว ประมาณกลางเดือนตุลาคมจะมีมรสุมตะวันออกเฉียงเหนือพัดปกคลุมประเทศไทยจนถึงกลางเดือนกุมภาพันธ์ มรสุมนี้มีแหล่งกำเนิดจากบริเวณความกดอากาศสูงบนซีกโลกเหนือ ประเทศมองโกเลียและจีน



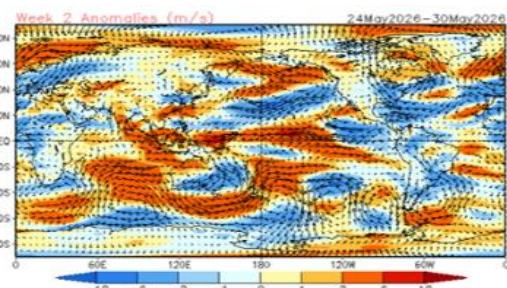
รูปที่ 7. ค่าดัชนีลมมรสุมต่างๆ และปริมาณฝนเฉลี่ยของประเทศไทย

http://www.cpc.ncep.noaa.gov/products/Global_Monsoons/Asian_Monsoons/Figures/Index/
แหล่งอ้างอิงดัชนีลมมรสุม (Monsoon indices)

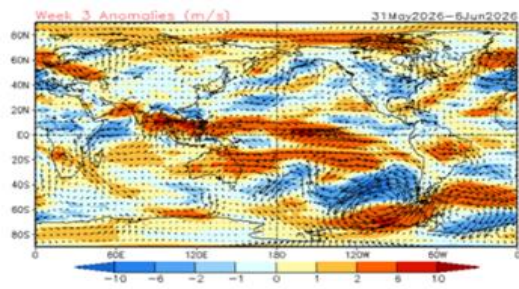
จากการคาดการณ์ดัชนีลมมรสุม WYMI WNPI และ ISMI ในรูปที่ 7 ช่วงเดือนมิถุนายน 2569 พบว่าค่าเฉลี่ยดัชนีมรสุมแสดงให้เห็น **ลมตะวันตกเฉียงใต้มีค่ามากกว่าค่าปกติ** และผลการคาดการณ์ลมที่ระดับ 850hPa (1,500 เมตร) **ช่วง 4 สัปดาห์ข้างหน้า** มีดังนี้ สำหรับสัปดาห์ที่ 1 (รูปที่ 8) มีลมตะวันออกเฉียงใต้ที่มีกำลังแรงกว่าค่าปกติพัดผ่านประเทศไทยตอนบน ในขณะที่ลมตะวันตกที่มีกำลังแรงกว่าค่าปกติพัดผ่านภาคใต้ โดยสัปดาห์ที่ 2 (รูปที่ 9) มีลมตะวันตกและลมตะวันตกเฉียงใต้ที่มีกำลังแรงกว่าค่าปกติพัดผ่านพื้นที่ส่วนใหญ่ของประเทศไทย เว้นแต่บางพื้นที่ของบริเวณภาคกลาง ภาคตะวันออก และภาคใต้ตอนบน ที่มีลมตะวันออกเฉียงใต้ที่มีกำลังแรงกว่าค่าปกติเล็กน้อยพัดผ่าน ส่วนสัปดาห์ที่ 3 (รูปที่ 10) มีลมตะวันตกเฉียงเหนือและลมตะวันตกเฉียงใต้ที่มีกำลังแรงกว่าค่าปกติพัดผ่านประเทศไทย เว้นแต่ทางตอนบนของภาคเหนือและภาคตะวันออกเฉียงเหนือที่มีกำลังแรงกว่าค่าปกติพัดผ่าน จากนั้นในสัปดาห์ที่ 4 (รูปที่ 11) ลมตะวันออกเฉียงเหนือและลมตะวันตกเฉียงใต้ที่มีกำลังแรงกว่าค่าปกติพัดผ่านประเทศไทยตลอดทั้งประเทศ ลักษณะดังกล่าวส่งผลให้เดือนมิถุนายน พื้นที่ส่วนใหญ่ของประเทศไทยมีปริมาณฝนสูงกว่าค่าปกติโดยเฉพาะทางฝั่งตะวันตกของประเทศ (เมื่อเปรียบเทียบกับค่าเฉลี่ยของช่วงเดียวกัน ในช่วงปี 2534-2563)



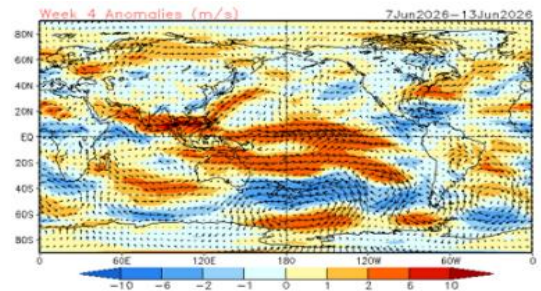
รูปที่ 8. ลมเฉลี่ยระดับ 850hPa ต่างจากค่าปกติ สัปดาห์ที่ 1 วันที่ 17-23 พ.ค. 69



รูปที่ 9. ลมเฉลี่ยระดับ 850hPa ต่างจากค่าปกติ สัปดาห์ที่ 2 วันที่ 24-30 พ.ค. 69



รูปที่ 10. ลมเฉลี่ยระดับ 850hPa ต่างจากค่าปกติ สัปดาห์ที่ 3 วันที่ 31 พ.ค.-6 มิ.ย. 69



รูปที่ 11. ลมเฉลี่ยระดับ 850hPa ต่างจากค่าปกติ สัปดาห์ที่ 4 วันที่ 7-13 มิ.ย. 69